

### **Silizium-PIN-Fotodiode mit Tageslichtsperrfilter**

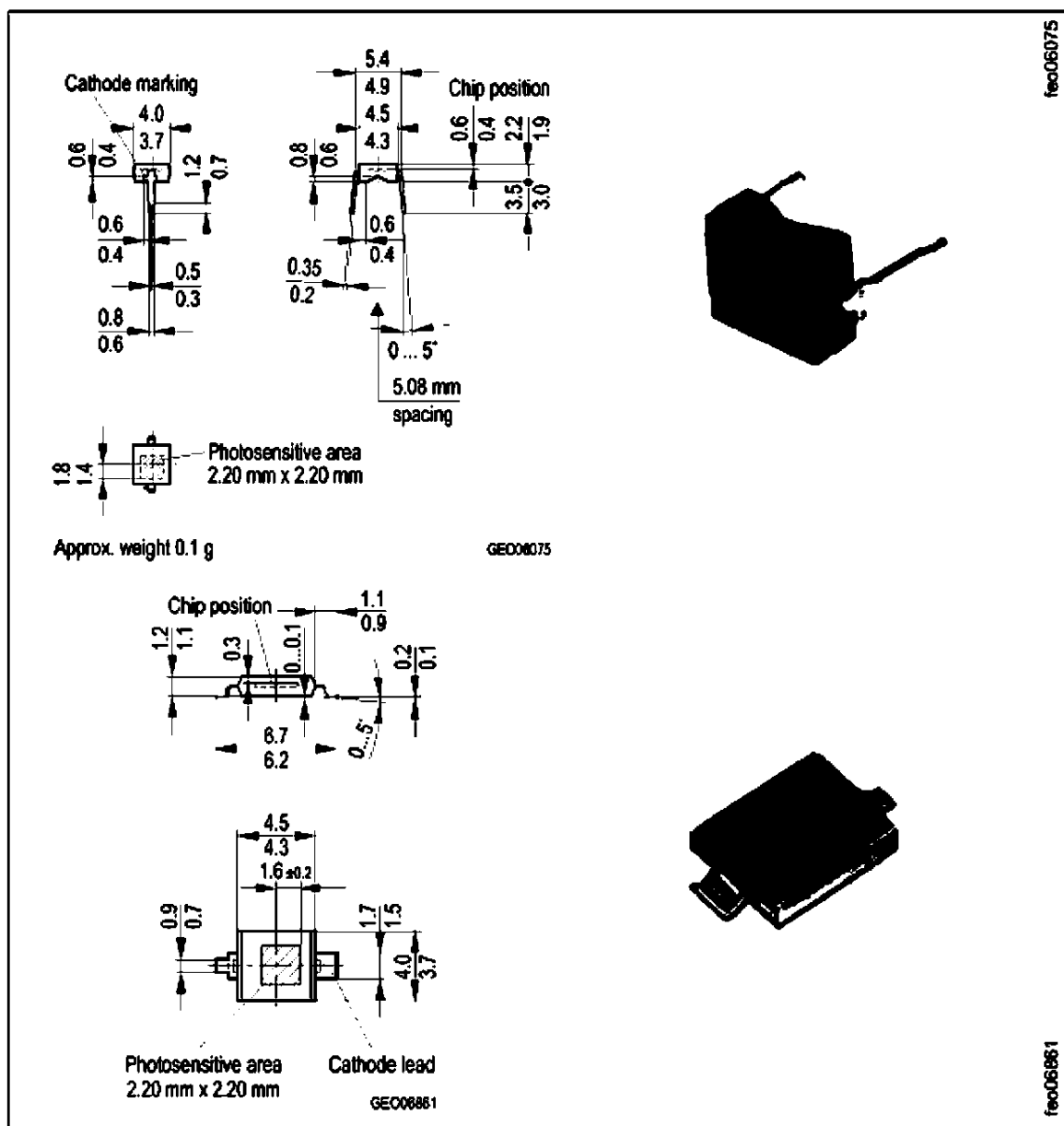
NEU: in SMT

### **Silicon PIN Photodiode with Daylight Filter**

**NEW: in SMT**

BP 104 F

BP 104 FS



## BP 104 F, BP 104 FS

### **Wesentliche Merkmale**

- Speziell geeignet für Anwendungen bei 950 nm
- kurze Schaltzeit (typ. 20 ns)
- DIL-Plastikbaufom mit hoher Packungsdichte
- BP 104 FS: geeignet für Vapor-Phase Löten und IR-Reflow Löten

### **Anwendungen**

- IR-Fernsteuerung von Fernseh- und Rundfunkgeräten, Videorecordern, Lichtdimmern, Gerätefernsteuerungen
- Lichtschranken für Gleich- und Wechsellichtbetrieb

### **Features**

- Especially suitable for applications of 950 nm
- Short switching time (typ. 20 ns)
- DIL plastic package with high packing density
- BP 104 FS: suitable for vapor-phase and IR-reflow soldering

### **Applications**

- IR remote control of hi-fi and TV sets, video tape recorders, dimmers, remote controls of various equipment
- Photointerrupters

<b>Typ Type</b>	<b>Bestellnummer Ordering Code</b>	<b>Gehäuse Package</b>
BP 104 F	Q62702-P84	DIL-Gehäuse, schwarzes Epoxy-Gießharz, Kathodenkennzeichnung: Fähnchen am Anschluß DIL package, black epoxy resin Cathode marking: flag on lead
BP 104 FS	Q62702-P1646	DIL/SMT-Gehäuse, schwarzes Epoxy-Gießharz, Kathodenkennzeichnung: Langer, breiter Anschluß DIL/SMT package, black epoxy resin Cathode marking: long broad lead

### **Grenzwerte**

#### **Maximum Ratings**

<b>Bezeichnung Description</b>	<b>Symbol Symbol</b>	<b>Wert Value</b>	<b>Einheit Unit</b>
Betriebs- und Lagertemperatur Operating and storage temperature range	$T_{\text{op}}, T_{\text{stg}}$	- 40 ... + 85	°C
Sperrspannung Reverse voltage	$V_R$	20	V
Verlustleistung, $T_A = 25$ °C	$P_{\text{tot}}$	150	mW

## BP 104 F, BP 104 FS

**Kennwerte ( $T_A = 25^\circ\text{C}$ ,  $\lambda = 950 \text{ nm}$ )**

**Characteristics**

<b>Bezeichnung</b> <b>Description</b>	<b>Symbol</b> <b>Symbol</b>	<b>Wert</b> <b>Value</b>	<b>Einheit</b> <b>Unit</b>
Fotoempfindlichkeit Spectral sensitivity $V_R = 5 \text{ V}, E_s = 1 \text{ mW/cm}^2$	$S$	34 ( $\geq 25$ )	$\mu\text{A}$
Wellenlänge der max. Fotoempfindlichkeit Wavelength of max. sensitivity	$\lambda_{S_{\max}}$	950	nm
Spektraler Bereich der Fotoempfindlichkeit $S = 10\% \text{ von } S_{\max}$ Spectral range of sensitivity $S = 10\% \text{ of } S_{\max}$	$\lambda$	800 ... 1100	nm
Bestrahlungsempfindliche Fläche Radiant sensitive area	$A$	4.84	$\text{mm}^2$
Abmessung der bestrahlungsempfindlichen Fläche Dimensions of radiant sensitive area	$L \times B$ $L \times W$	2.20 $\times$ 2.20	$\text{mm} \times \text{mm}$
Abstand Chipoberfläche zu Gehäuseoberfläche Distance chip front to case surface	$H$	0.5 0.3 (BP 104 FS)	mm
Halbwinkel Half angle	$\varphi$	$\pm 60$	Grad deg.
Dunkelstrom, $V_R = 10 \text{ V}$ Dark current	$I_R$	2 ( $\leq 30$ )	nA
Spektrale Fotoempfindlichkeit Spectral sensitivity	$S_\lambda$	0.70	A/W
Quantenausbeute Quantum yield	$\eta$	0.90	Electrons Photon
Leerlaufspannung, $E_s = 0.5 \text{ mW/cm}^2$ Open-circuit voltage	$V_0$	330 ( $\geq 250$ )	mV
Kurzschlußstrom, $E_s = 0.5 \text{ mW/cm}^2$ Short-circuit current	$I_{sc}$	17	$\mu\text{A}$
Anstiegs- und Abfallzeit des Fotostromes Rise and fall time of the photocurrent $R_L = 50 \Omega; V_R = 5 \text{ V}; \lambda = 850 \text{ nm}; I_p = 800 \mu\text{A}$	$t_r, t_f$	20	ns
Durchlaßspannung, $I_F = 100 \text{ mA}, E = 0$ Forward voltage	$V_F$	1.3	V
Kapazität, $V_R = 0 \text{ V}, f = 1 \text{ MHz}, E = 0$ Capacitance	$C_0$	48	pF

---

**BP 104 F, BP 104 FS**

**Kennwerte ( $T_A = 25^\circ\text{C}$ ,  $\lambda = 950 \text{ nm}$ )**  
**Characteristics (cont'd)**

<b>Bezeichnung</b> <b>Description</b>	<b>Symbol</b> <b>Symbol</b>	<b>Wert</b> <b>Value</b>	<b>Einheit</b> <b>Unit</b>
Temperaturkoeffizient von $V_o$ Temperature coefficient of $V_o$	$TC_v$	- 2.6	mV/K
Temperaturkoeffizient von $I_{sc}$ Temperature coefficient of $I_{sc}$	$TC_i$	0.18	%/K
Rauschäquivalente Strahlungsleistung Noise equivalent power $V_R = 10 \text{ V}$	$NEP$	$3.6 \times 10^{-14}$	$\frac{\text{W}}{\sqrt{\text{Hz}}}$
Nachweisgrenze, $V_R = 10 \text{ V}$ Detection limit	$D^*$	$6.1 \times 10^{12}$	$\frac{\text{cm} \cdot \sqrt{\text{Hz}}}{\text{W}}$